

ショックに対する高圧酸素療法 - 第5報 -

特にエンドトキシンショックを中心として

日本医科大学第一外科 欲誤達行

代田明郎 大川共一 横田秀雄 恩田昌彦 吉岡正智 柴 積 山下精彦 木曾祥久
埴原忠良 森山雄吉 関谷宗則 足立憲治 宮下正雄 辻見 弘 江上裕 岩間昭世

イレウスや腹膜炎患者に適切な外科的治療と、術前術後の充分なる水分、電解質の補給などを行ない安心していると、患者が突然重篤なるショック状態に陥り、死亡することがある。この様な場合、吾々は腸内細菌特に、大腸菌のエンドトキシンの血中への出現、増量がショックの重要な一因子であることを種々なる角度から立証報告してきた。一方、吾々は、この対策の一つとして、先に高圧酸素療法を用いて有効なることを臨床的並びに実験的に報告したが、今回は、その後得た臨床成績とともに2~3の実験成績を報告する。表1は従来の方法では到底救助し得ないとおもわれる様な重症イレウスに、術前術後に高圧酸素療法を行った6例で、5例迄を救助することが出来た。表2は同じく重症腹膜炎7例に高圧酸素療法を併用せ行って5例迄を救助することが出来た。

次に、重症イレウス並びに腹膜炎患者に高圧酸素療法が何故有効であるかの理由の一端を追求するため、ウサギを用いての実験成績のうち主として、呼吸循環動態を中心に述べる。ウサギにエンドトキシンを静注投与し、ショックを惹起せしめ、それらのウサギを対照群と、血圧50mmHgとショック状態に陥ったところで高圧酸素療法を行った2群に分かれ、両群の動脈血圧、 $I^{131}RIHSA$ を用いたボルメトロニ法による循環血流量、Astrupを用いて動脈血酸素分压、PH、Baseexcess、炭酸ガス分压を測定し、その変動を追求した。表3・表4。それによると、対照群はエンドトキシン投与後血圧は、90分間に亘り徐々に低下し、その後急激に低下して2~3時間後には死亡した。循環血流量は血圧の低下に伴なって著明に減少する。酸素分压も著明に低下する。PH並びにBaseexcessも徐々に低下し、代謝性アシドーシスを呈する。炭酸ガス分压は、一時低下するが、死直前にはエンドトキシン投与前よりやや高値を示した。これに対し高圧酸素治療群では血圧の低下はよく改善されたばかりでなく、循環血流量も高圧酸素治療後には増加し、酸素分压、PHおよびBaseexcessの低下は極めてよく阻止抑制され、その生存時間も2倍以上に延長するのが認められた。表5。又、この際、両群の腸間膜の微少循環動態を顕微鏡直下に追求すると、対照群では、血圧の低下にともなって血流速度は漸次減らすが、血圧80mmHgでは、細静脈、毛細血管で、血流速度の軽度の低下と細動脈の血管収縮が認められ、血圧が60mmHgに低下すると、細静脈、毛細血管で血流速度は緩慢となり、中軸流のねじれ、白血球の血管壁膠着、血管壁の粗粒化、Plasmakrimmingが認められると同時に細動脈の血管収縮が著明である。さらに40mmHgに低下すると、細静脈、毛細血管では血流が完全に杜絶し、Stasisの状態から、所謂、intravascular erythrocyte agglutinationの状態を呈し、広範囲にSludge phenomenaが観察され、又、細動脈でも血管拡張とSludge phenomenaが認められた。これに対し、高圧酸素治療群では、血圧の上昇に伴って漸次その微少循環動態は改善され、血圧50mmHgでは細動脈、毛細血管で、一部、

Stasis の状態がみられるが、血流は緩徐ながら明らかに認められ、さらに 60mmHg 以上昇すると、細静脈、毛細血管で血流は緩徐ながら Stasis は完全に解消され、70mmHg では細静脈、毛細血管、細動脈ともに血流は極めてよく改善されたのが認められた。表 6。

表 7 はウサギのエンドトキシンショック時の肝、腎、副腎の光学頭微鏡による組織学的变化であるが、高压酸素療法によってそれら变化は極めてよく軽減されており、又、表 8 に示すように電子頭微鏡による細胞学的微細構造の变化も、高压酸素療法により、同じく極めてよく軽減されたのが認められた。

〈結語〉

以上、今回吾々が得た諸研究成果は、表 1 ~ 8 に示すように、先に報告したエンドトキシンの致死的障害作用に対する高压酸素療法の防止効果にかんする成績と照合して、イレウスおよび腹膜炎ショックに対して高压酸素療法が何故有効であるかの理由の一端を立証し得たものと考える。

高压酸素療法を行った重症イレウス手術患者の治療成績

症例	年 令	性 別	疾 患	手術方法	高压酸素療法		成 績
					起始圧 (mmHg)	時間(分)	
1 平田	75	女	感染性イレウス	瘻管形成	3.0	90	4 治癒
2 本橋	19	♀	感染性イレウス	瘻管形成	...	90	3 治癒
3 菊地	42	♀	絞扼性イレウス	腸管剥離切開 臍部合併	...	120	3 治癒
4 青崎	41	♀	絞扼性イレウス	小腸 2m 切除	...	120	1 治癒
5 梅津	52	♀	絞扼性腹膜炎 絞扼性イレウス	腸管剥離切開 臍部合併	...	120	5 死亡
6 足立	63	♀	絞扼性イレウス	腸管剥離切開 臍部合併	...	100	3 治癒

表 1

高压酸素療法を行った重症腹膜炎手術患者の治療成績

症例	年 令	性 別	疾 患	手術式	高压酸素療法		成 績
					起始圧 (mmHg)	時間(分)	
1 田中	39	♀	感染性絞扼炎	胆のう剖出	3.0	90	4 治癒
2 門脇	44	♂	感染性絞扼炎	胆のう剖出	...	100	3 治癒
3 平井	42	♀	胃十二指腸炎	胃切離術	...	90	1 治癒
4 倉地	62	♂	S型結腸癌	開腹ドレナージ	...	120	4 死亡
5 渡辺	70	♂	全小腸癌	開腹ドレナージ	...	120	1 死亡
6 丸田	36	♀	食道癌ヘルニア	胃切除	...	90	2 治癒
7 立木	70	♀	S型結腸癌	人工肛門造設	...	90	1 治癒

表 2

エンドトキシン・ショック時の循環血液量と酸塩基平衡の変動

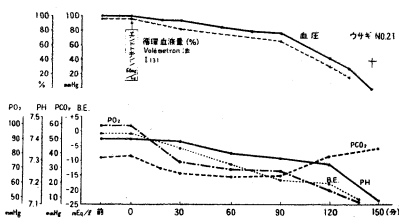


表 3

エンドトキシン・ショック時の循環血液量と酸塩基平衡の変動に及ぼす高压酸素療法の影響

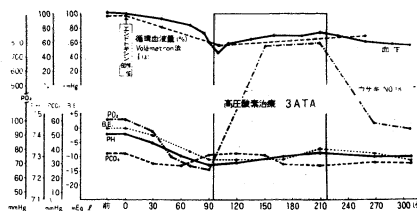


表 4

エンドトキシンの致死的障害作用に対する
高压酸素療法の防止効果

表 5

エンドトキシン・ショック時の微小循環動態
これに及ぼす高压酸素療法の影響

(ウサギ腸間膜)			
血 圧	細動脈	細静脈	毛細管
高压酸素治療群	前	++	++
	80mmHg (血管收縮)	++	+
	60mmHg (血管收縮)	++	+-
	40mmHg (血管收縮)	-	-
高压酸素未治療群	50mmHg (血管收縮)	+-	+
	60mmHg (血管收縮)	+	+
	70mmHg (血管收縮)	++	++
	80mmHg (血管收縮)	++	++

++: 血流正常
-: 血流あるも Stasis.
+: 血流弱度減速
--: 血流明瞭なる緩徐
---: 血管空虚化

表 6

エンドトキシン・ショックに対する
高压酸素療法の治療効果
(光学頭微鏡的所見)

所 見	対照群	高压酸素治療群
うっ血	++	+
肝 肝細胞の萎張	++	+
肝 肝細胞の部分壊死	+	-
肝 赤血球血管外漏出	++	+
肝 好酸性壊死	++	+
肝 三角における細胞浸潤	++	+
腎 糸球体の充血	++	+
腎 内皮細胞腫張	+	+
腎 上皮細胞ゴジー体の増加	++	++
腎 メタセマリクの空泡化	++	-
腎 足突膜の融合	+	+
腎 リビド細胞の増殖	++	++
腎 血行うつ滞	++	+
腎 リビド細胞の減少	++	+
腎 ミコントリアの空泡化	+	+
腎 テヌソームの変化	+	-
腎 進行うつ滞	++	+
副 腎 副腎質浮腫	+	+

表 7

-25-

表 8